

8-6 地殻活動総合観測線最近1年/近畿の19年の観測結果

Continuous Observation of Crustal Deformations at Observation Networks in Central Kinki and Southeast Kyushu District.

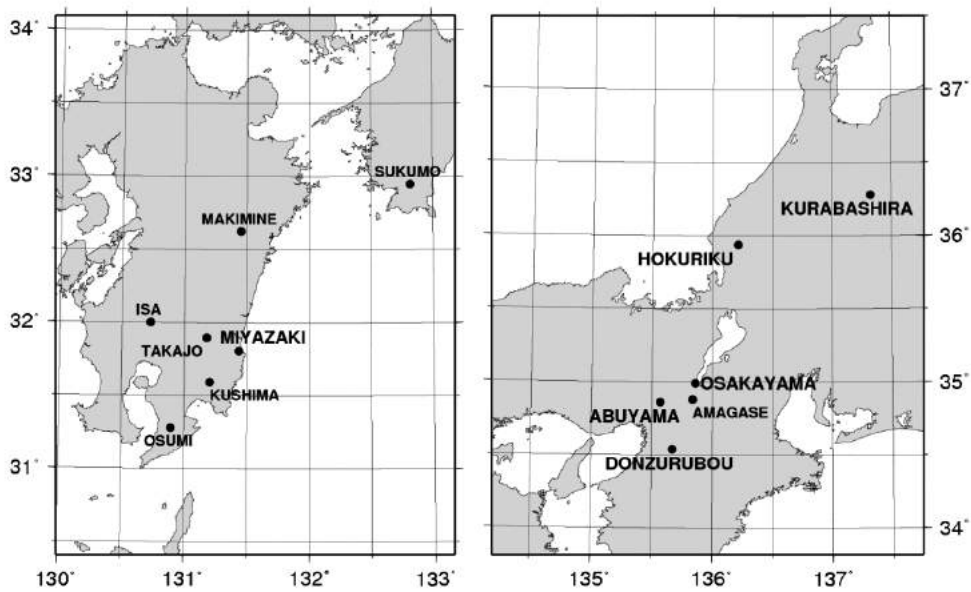
京都大学防災研究所附属地震予知研究センター
Reserch Center for Earthquake Prediction,
Disaster Prevention Research Institute, Kyoto University

近畿・北陸地方および日向灘地殻活動総合観測線の主要点の坑道内歪観測結果の最近1年分を示す。長期的な2003年以降のトレンド変化も継続しており、近畿主要点については、1999年以来現在までの記録も併せて示す。

近畿地方の主要点では、最近4年程の間、歪の年周変化量が減少している。現象が最も顕著に観られるのは逢坂山観測所であるが、屯鶴峯と阿武山でも確認できる。逢坂山観測所では、同時に地下水位の年周変化量も最近10年間の平均変化量の半分程度に減少している。

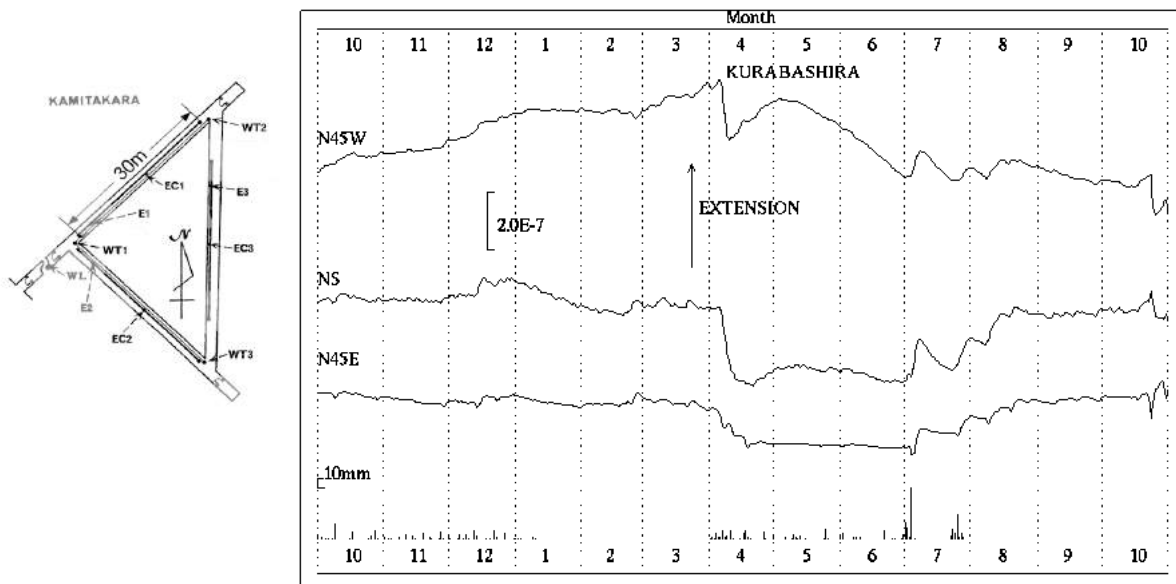
地殻活動総合観測線最近1年/近畿の18年の観測結果

京都大学防災研究所附属地震予知研究センター



第1図 観測点配置

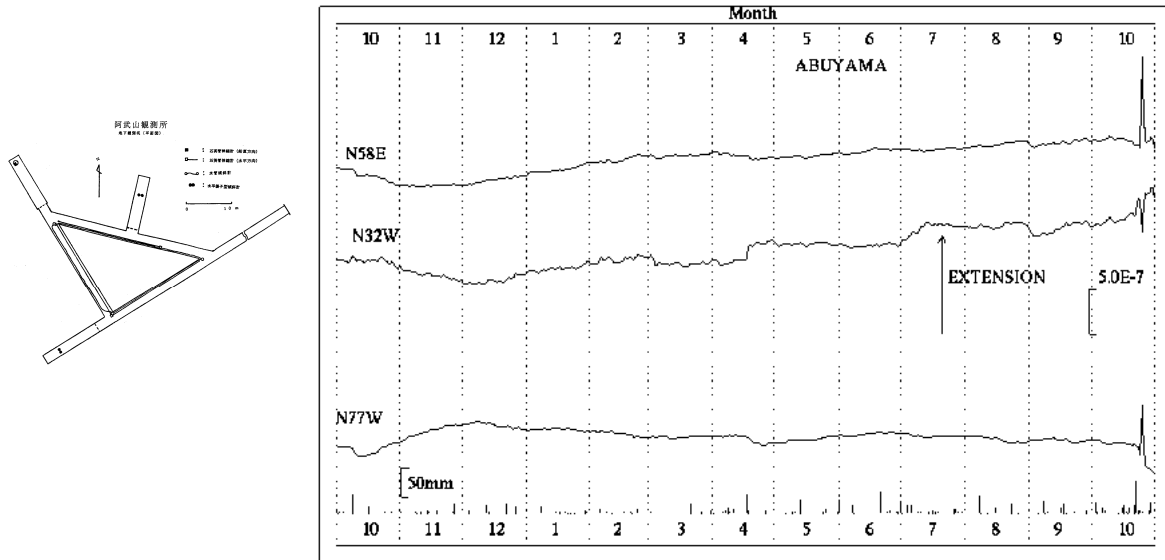
Fig. 1 Location map of observatories.



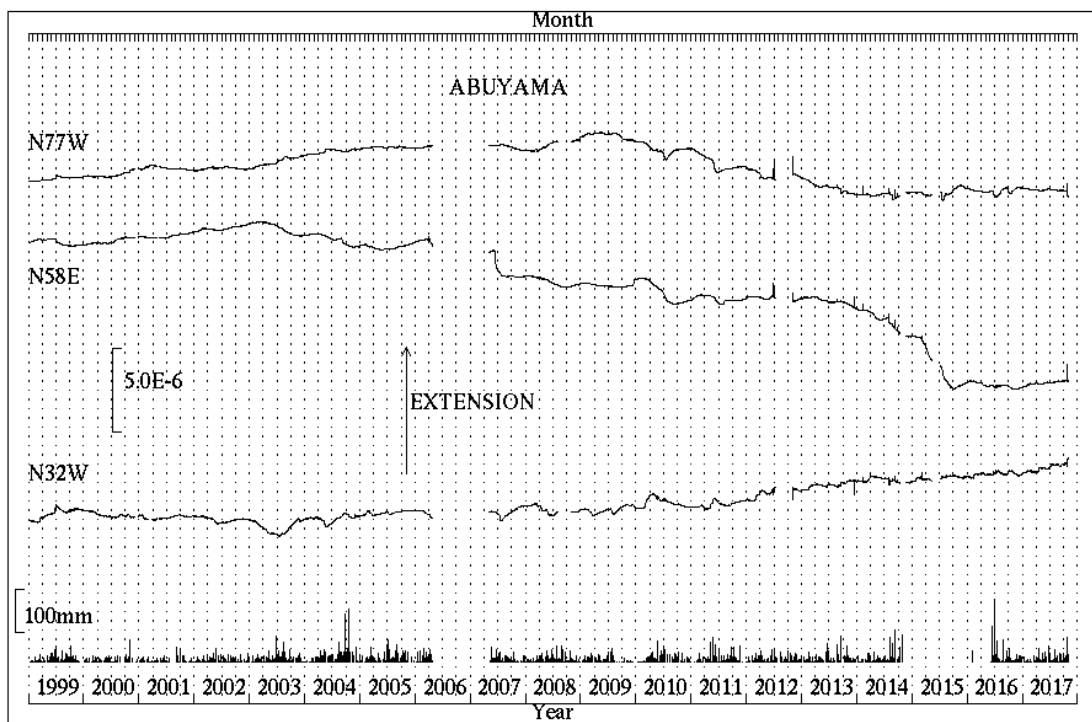
第2図 上宝観測所蔵柱観測室における歪変化と日雨量(2016年10月~2017年10月)

Fig. 2 Strain changes and daily precipitation at Kurabashira observatory.

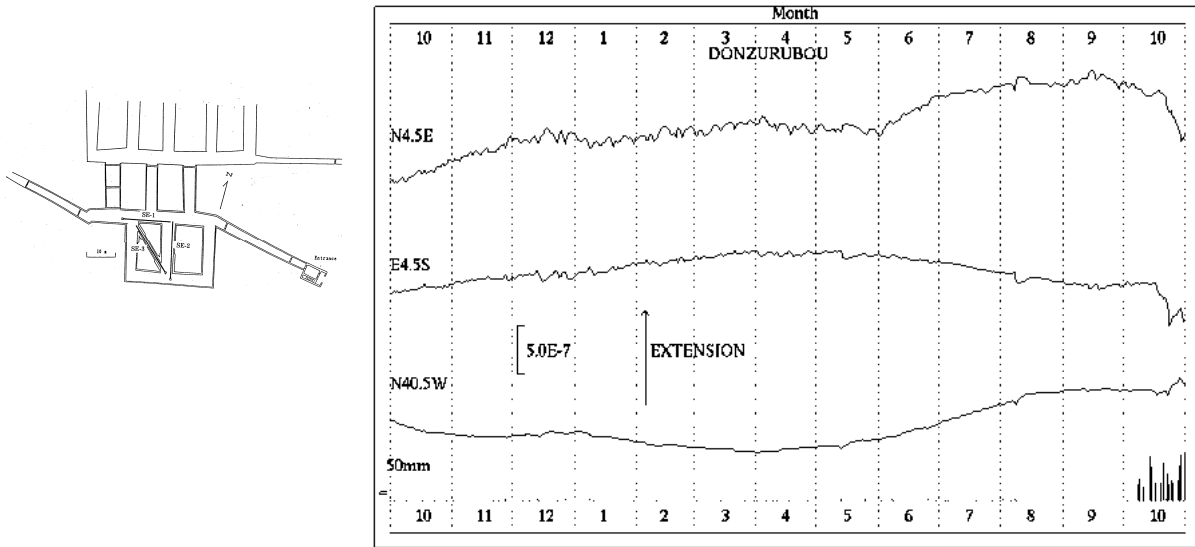
(Oct.01,2016~Oct.31,2017).



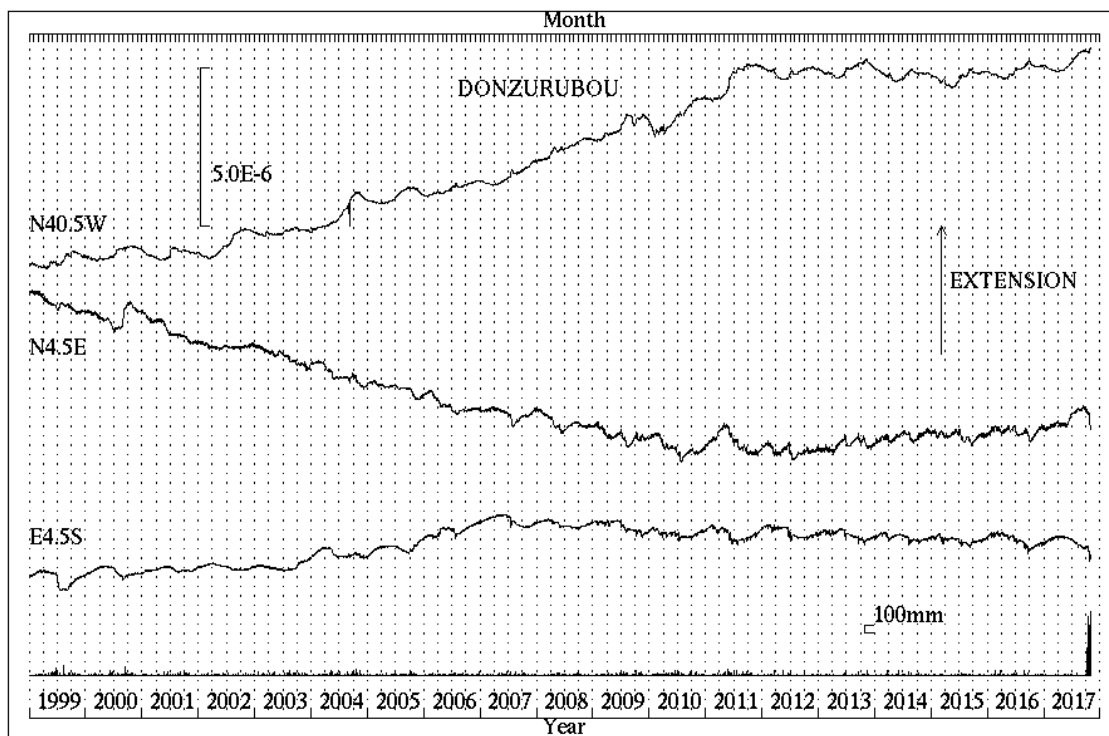
第3図 a 阿武山観測所における歪変化と日雨量（2016年10月～2017年10月）
 Fig. 3a Strain changes and daily precipitation at Abuyama observatory.
 (Oct.01,2016～Oct.31,2017).



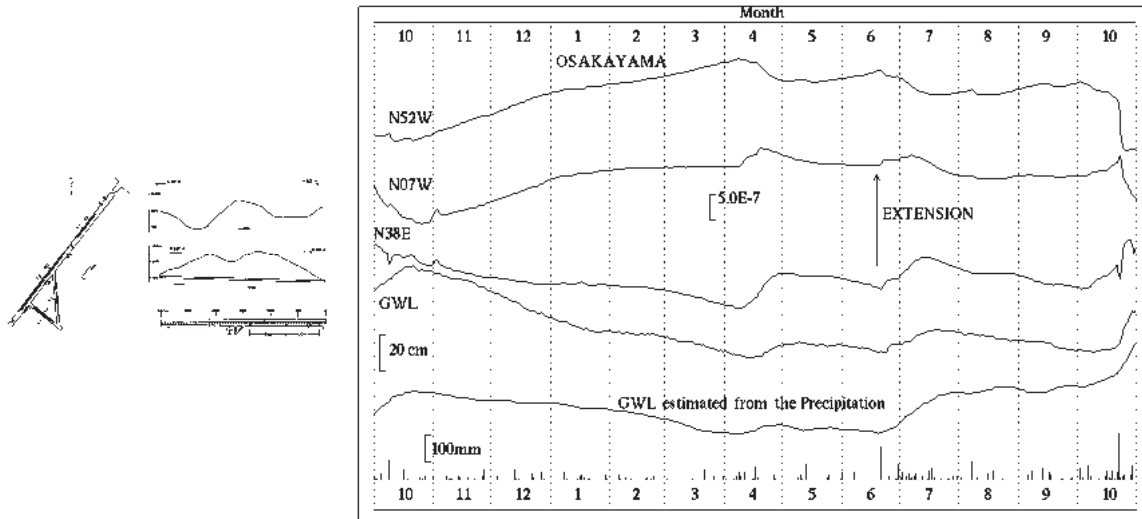
第3図 b 阿武山観測所における歪変化と日雨量（1999年1月～2017年10月）
 Fig. 3b Strain changes and daily precipitation at Abuyama observatory.
 (Jan. 1,1999 ~ Oct.31,2016).



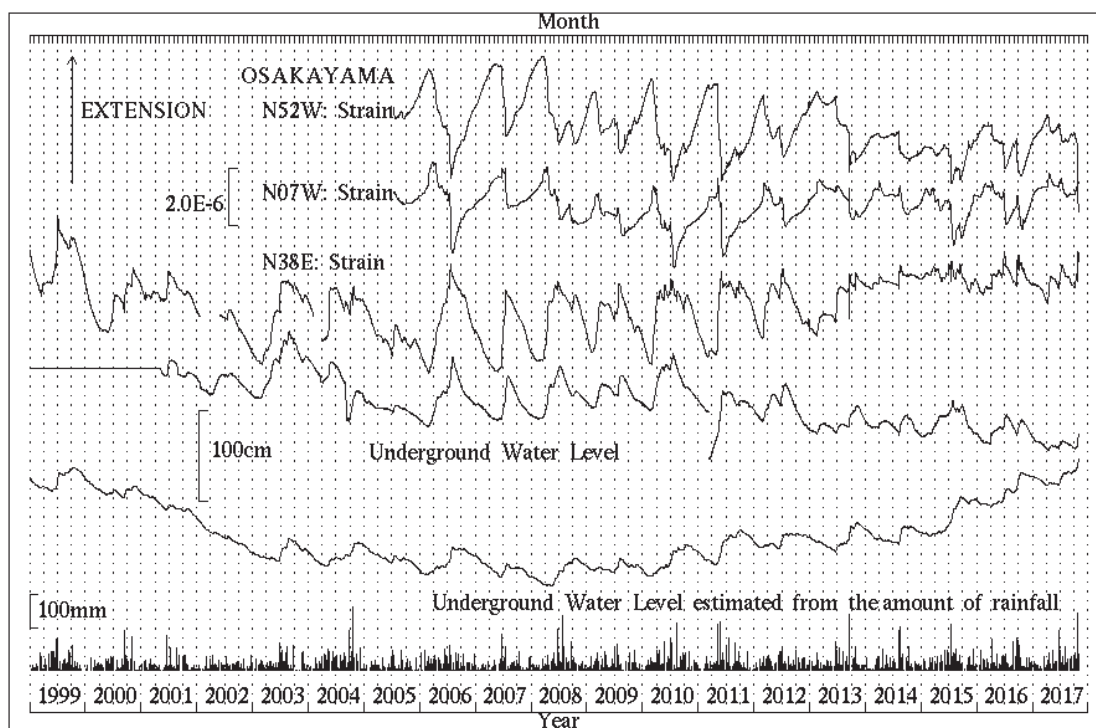
第4図 a 屯鶴峯観測所における歪変化と日雨量 (2016年10月～2017年10月)
 Fig. 4a Strain changes and daily precipitation at Donzurubou observatory.
 (Oct.01,2016～Oct.31,2017).



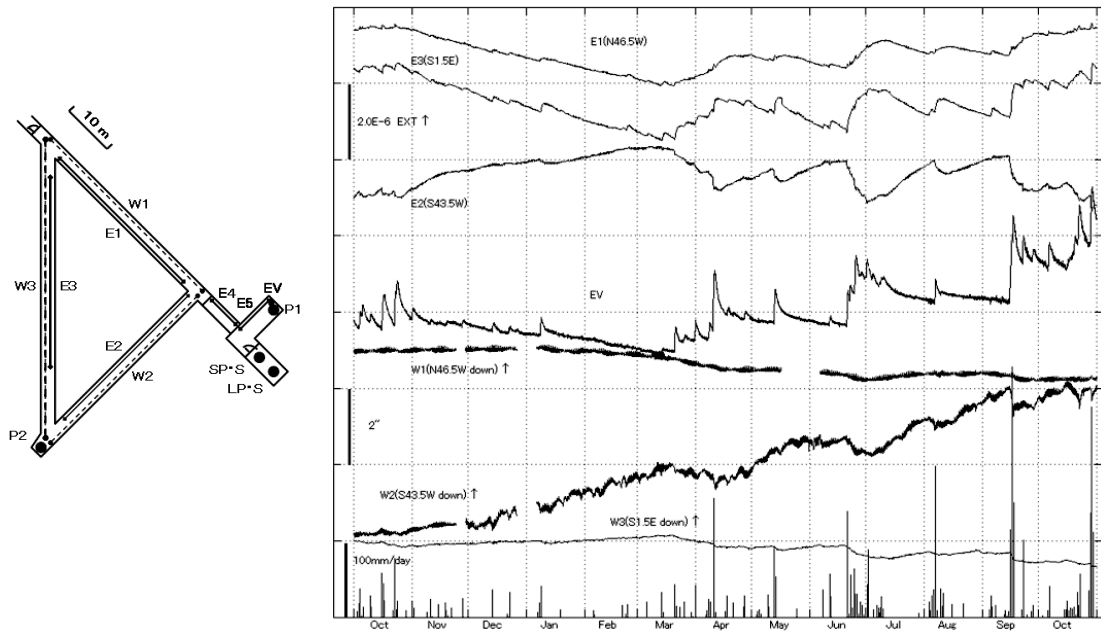
第4図 b 屯鶴峯観測所における歪変化と日雨量 (1999年1月～2017年10月)
 Fig. 4b Strain changes and daily precipitation at Donzurubou observatory.
 (Jan. 1,1999 ~ Oct.31,2016).



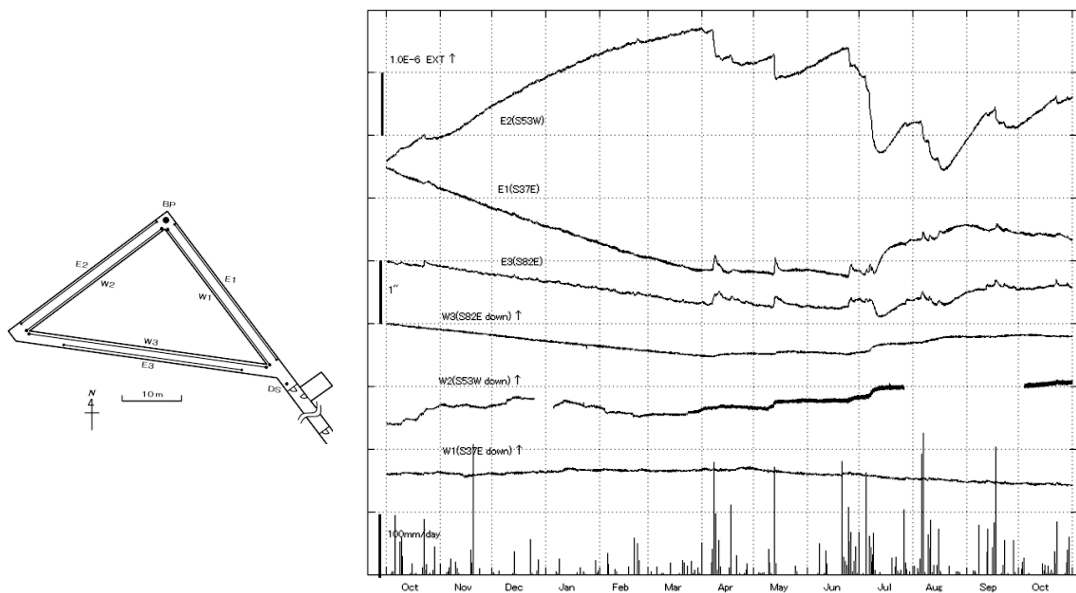
第 5 図 a 逢坂山観測所における歪変化と日雨量 (2016 年 10 月～2017 年 10 月)
 Fig. 5a Strain change, underground water level and daily precipitation at Osakayama
 observatory. (Oct.01,2016～Oct.31,2017).



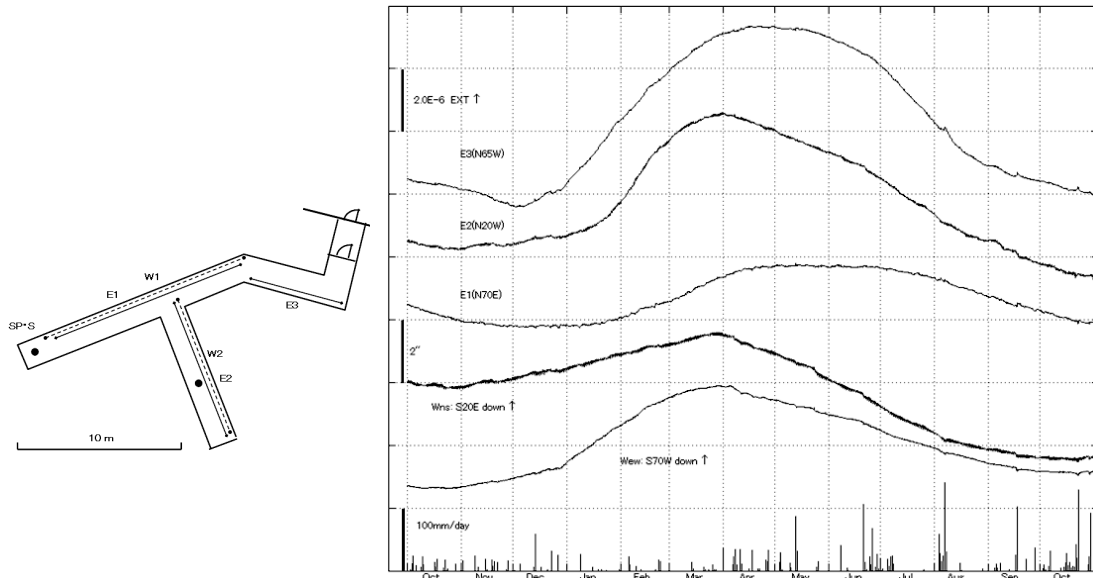
第 5 図 b 逢坂山観測所における歪変化と日雨量 (1999 年 1 月～2017 年 10 月)
 Fig. 5b Strain change, underground water level, daily precipitation and estimated underground
 water level from precipitation at Osakayama observatory.(Jan. 1,1999 ~ Oct.31,2016).



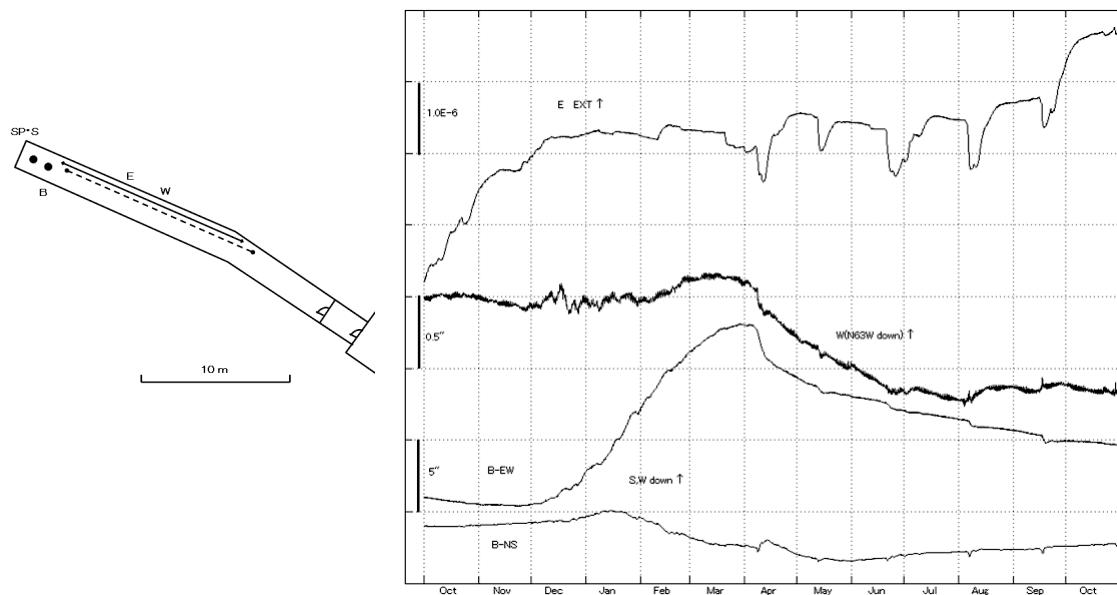
第 6 図 宮崎観測所における歪・傾斜変化と日雨量 (2016 年 10 月～2017 年 10 月)
 Fig. 6 Strain changes, tilt changes and daily precipitation at Miyazaki observatory.
 (Oct.01,2016～Oct.31,2017).



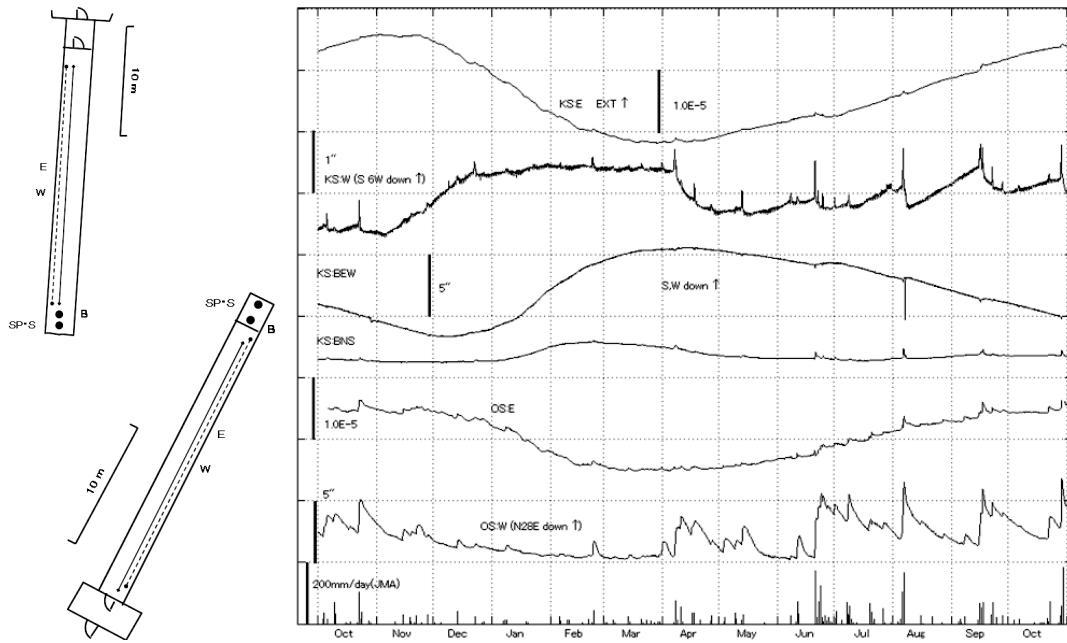
第 7 図 伊佐観測所における歪・傾斜変化と日雨量 (2016 年 10 月～2017 年 10 月)
 Fig. 7 Strain changes, tilt changes and daily precipitation at Isa station.
 (Oct.01,2016～Oct.31,2017).



第 8 図 宿毛観測所における歪変化と日雨量 (2016 年 10 月～2017 年 10 月)
 Fig. 8 Strain changes, tilt changes and daily precipitation at Sukumo station.
 (Oct.01,2016～Oct.31,2017).



第 9 図 高城観測所における歪変化と傾斜変化 (2016 年 10 月～2017 年 10 月)
 Fig. 9 Strain changes and tilt changes at Takajo station. (Oct.01,2016～Oct.31,2017).



第 10 図 串間・大隈観測所における歪・傾斜変化 (2016 年 10 月～2017 年 10 月)
 Fig. 10 Strain changes and tilt changes at Kushima, and Ohsumi station.
 Lowest bar graph is daily precipitation at Tashiro, nearest station by JMA.
 (Oct.01,2016～Oct.31,2017).